

Figura 306. Componente imaginaria de la densidad de campo B.
fe=300Hz - fr=12Hz - s=0.20. p=20.

A.1.4.3. $s=0.50$ - $f_r=7.5\text{Hz}$.

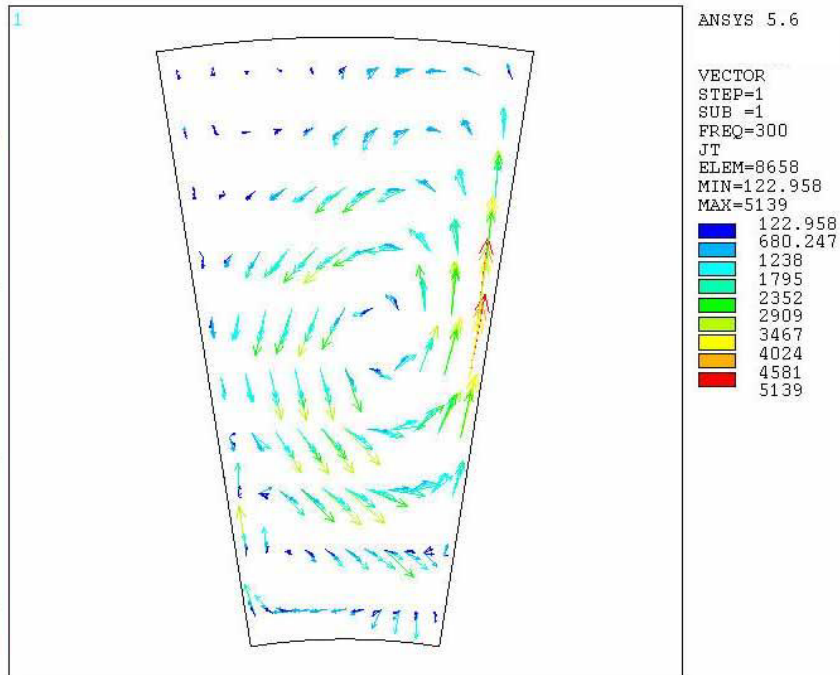


Figura 307. Componente real de la J del rotor. $f_e=300\text{Hz}$ - $f_r=7.5\text{Hz}$ - $s=0.50$. Distribución por par de polos $p=20$.

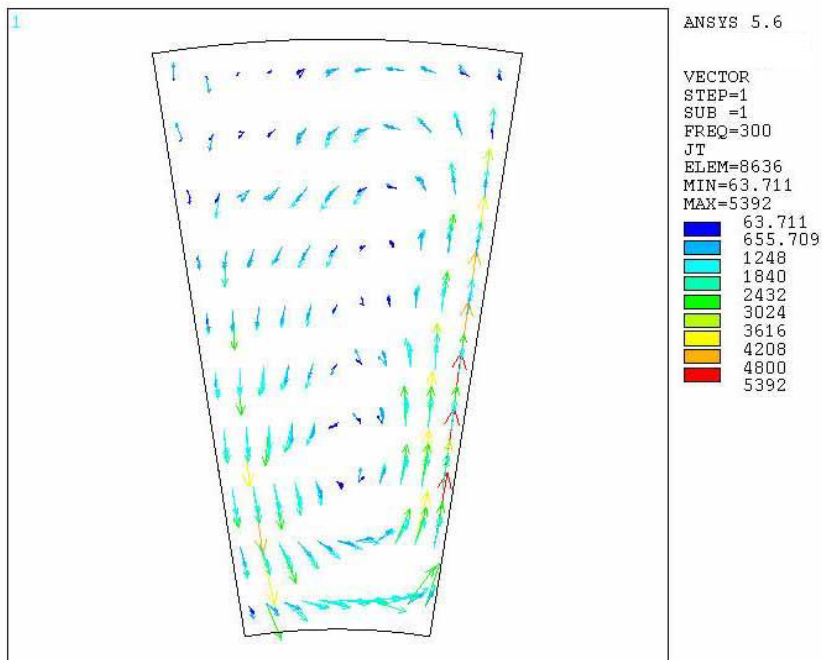


Figura 308. Componente real de la J del rotor. $f_e=300\text{Hz}$ - $f_r=7.5\text{Hz}$ - $s=0.50$. Distribución por par de polos $p=20$.

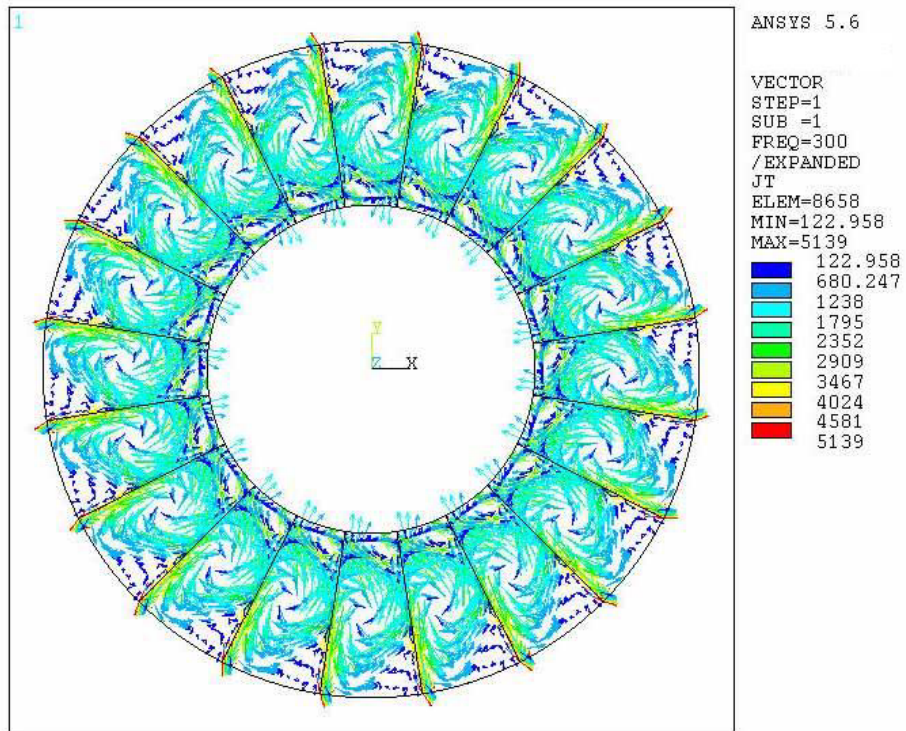


Figura 309. Componente real de la J del rotor. $f_e=300\text{Hz}$ - $f_r=7.5\text{Hz}$ - $s=0.50$. $p=20$.

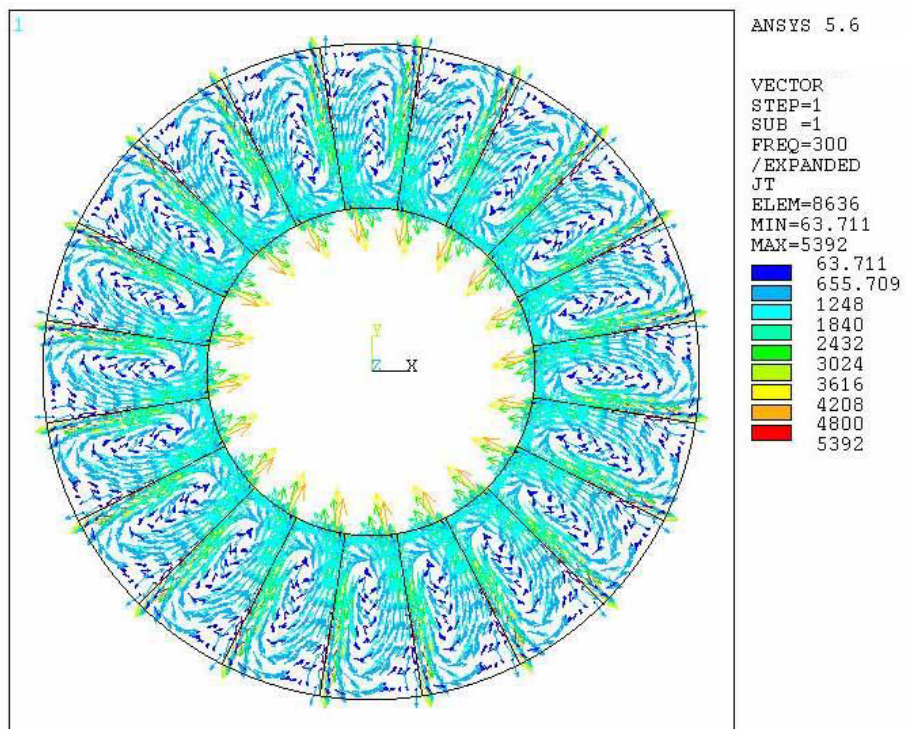


Figura 310. Componente imaginaria de la J del rotor. $f_e=300\text{Hz}$ - $f_r=7.5\text{Hz}$ - $s=0.50$. $p=20$.

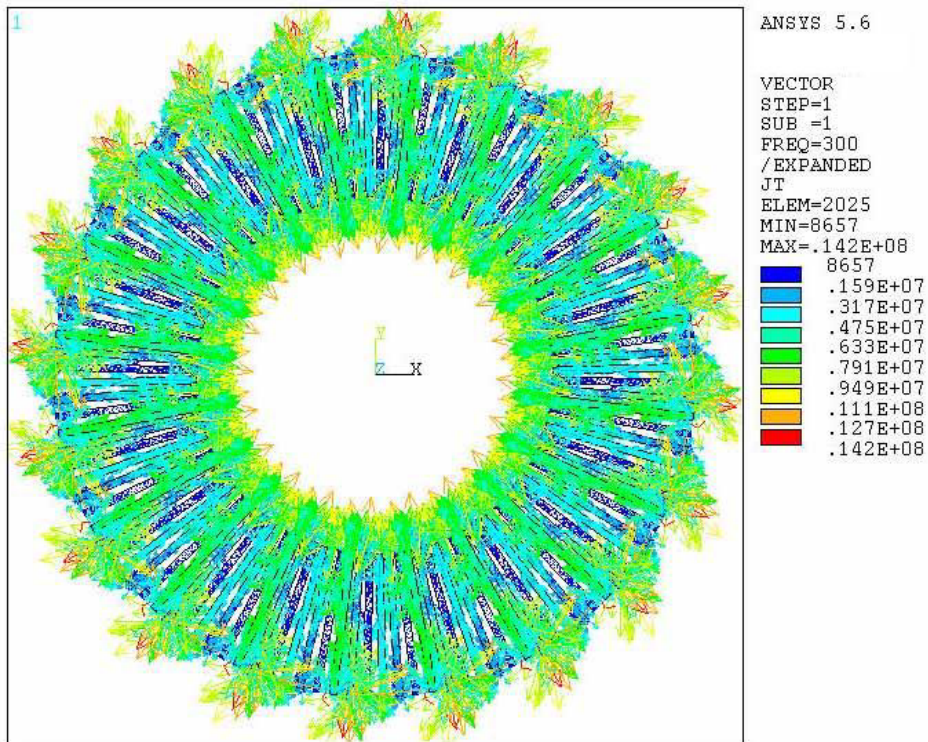


Figura 311. Componente real de las corrientes estáticas.
 $f_e=300\text{Hz}$ - $f_r=7.5\text{Hz}$ - $s=0.50$. $p=20$.

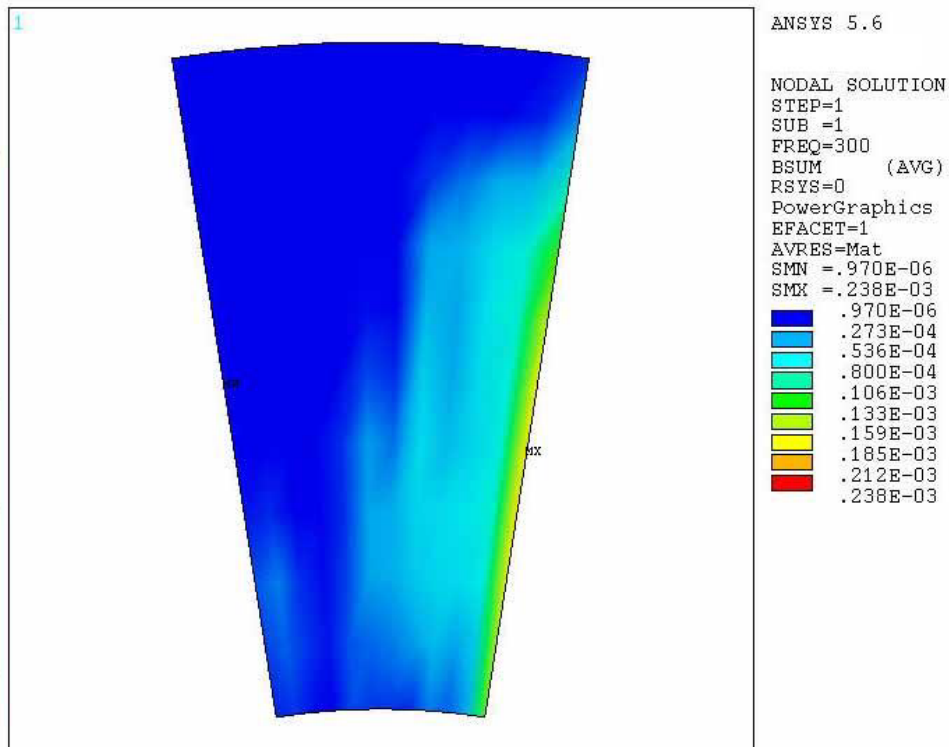


Figura 312. Componente real de la densidad de campo B.
 $f_e=300\text{Hz}$ - $f_r=7.5\text{Hz}$ - $s=0.50$. $p=20$.

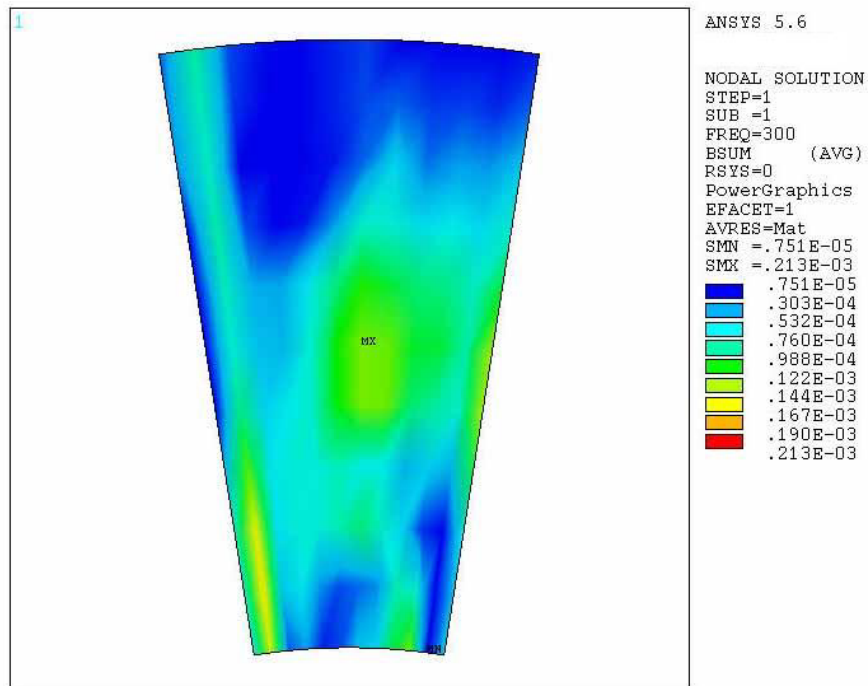


Figura 313. Componente real de la densidad de campo B.
 $f_e=300\text{Hz}$ - $f_r=7.5\text{Hz}$ - $s=0.50$, $p=20$.

A.1.4.4. $s=0.999$ - $f_r=0.015\text{Hz}$.

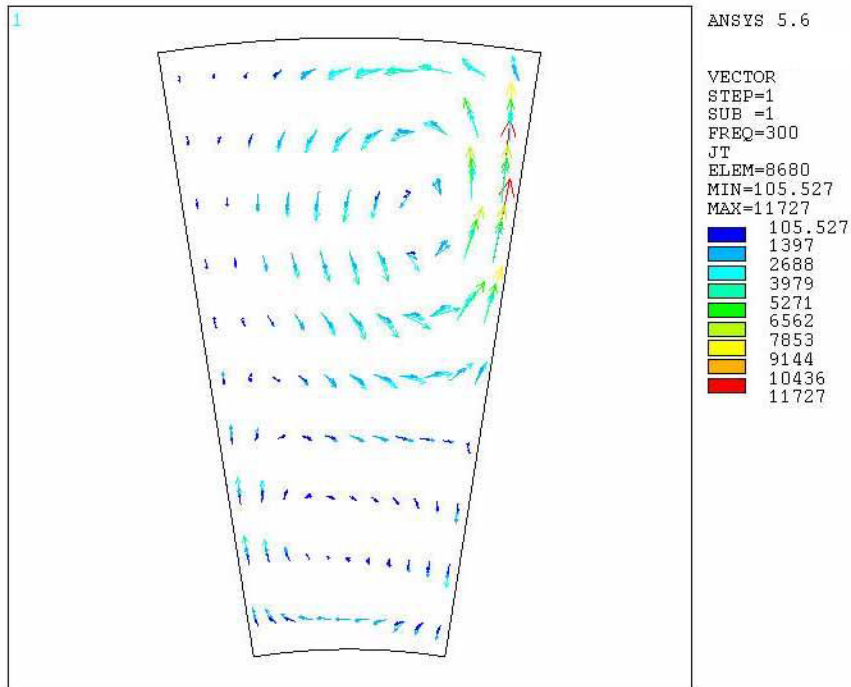


Figura 314. Componente real de la J del rotor. $f_e=300\text{Hz}$ - $f_r=0.015\text{Hz}$ - $s=0.999$. Distribución por par de polos $p=20$.

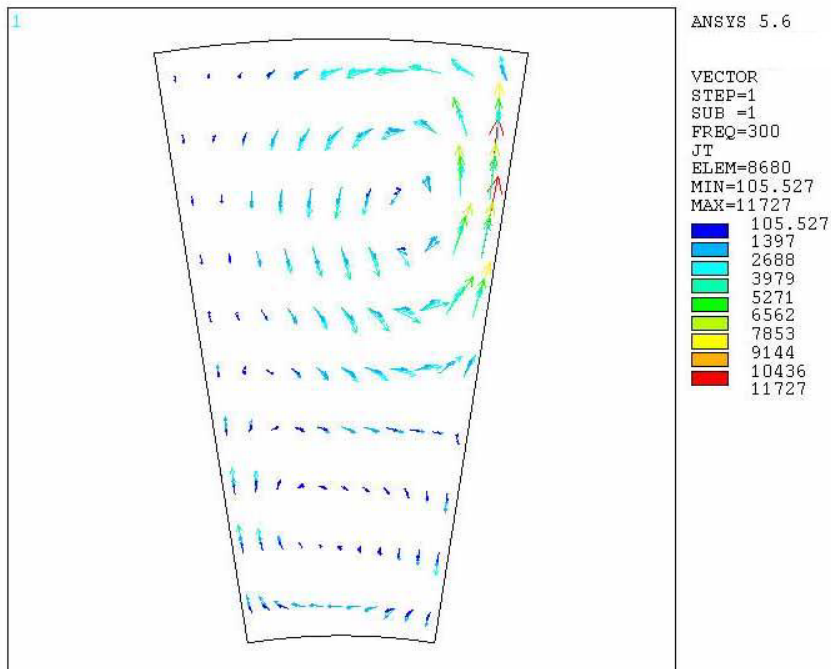


Figura 315. Componente real de la J del rotor. $f_e=300\text{Hz}$ - $f_r=0.015\text{Hz}$ - $s=0.999$. Distribución por par de polos $p=20$.

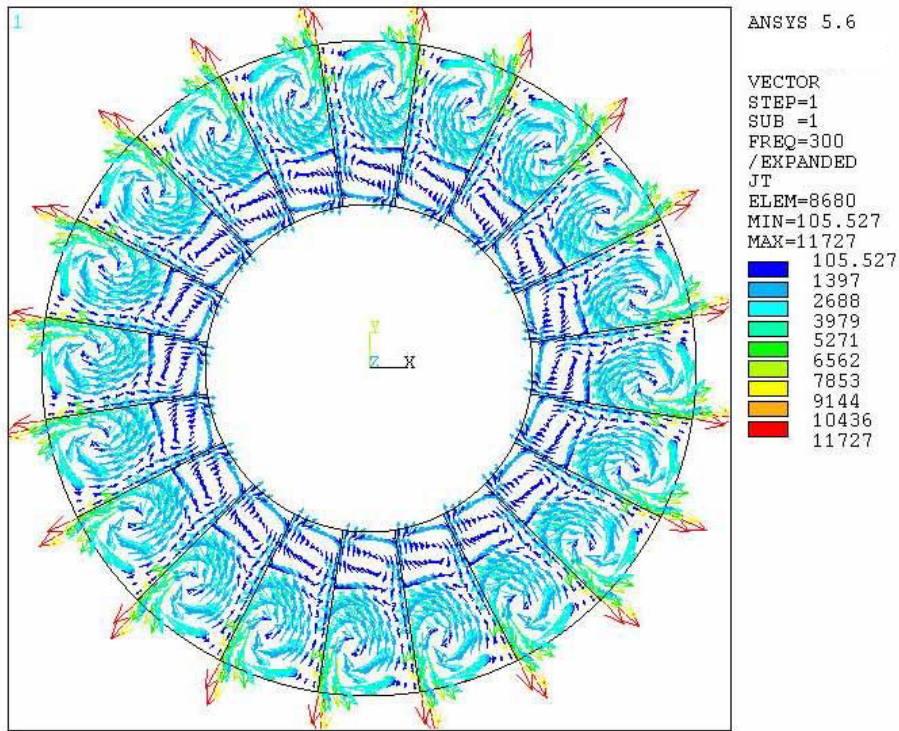


Figura 316. Componente real de la J del rotor. $f_e=300\text{Hz}$ - $f_r=0.015\text{Hz}$ - $s=0.999$. $p=20$.

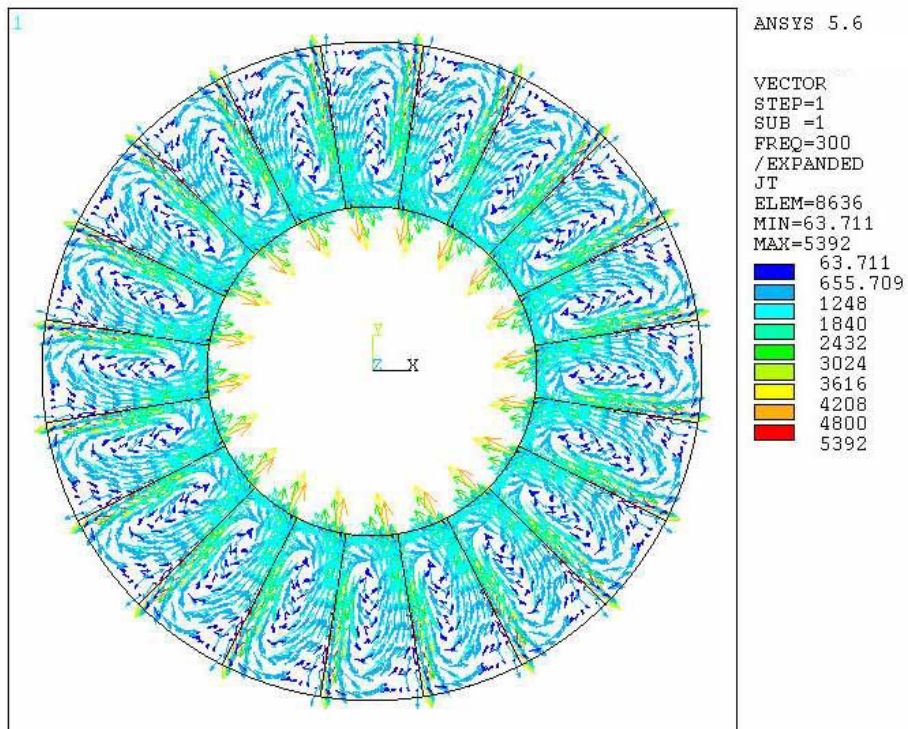


Figura 317. Componente imaginaria de la J del rotor. $f_e=300\text{Hz}$ - $f_r=0.015\text{Hz}$ - $s=0.999$. $p=20$.

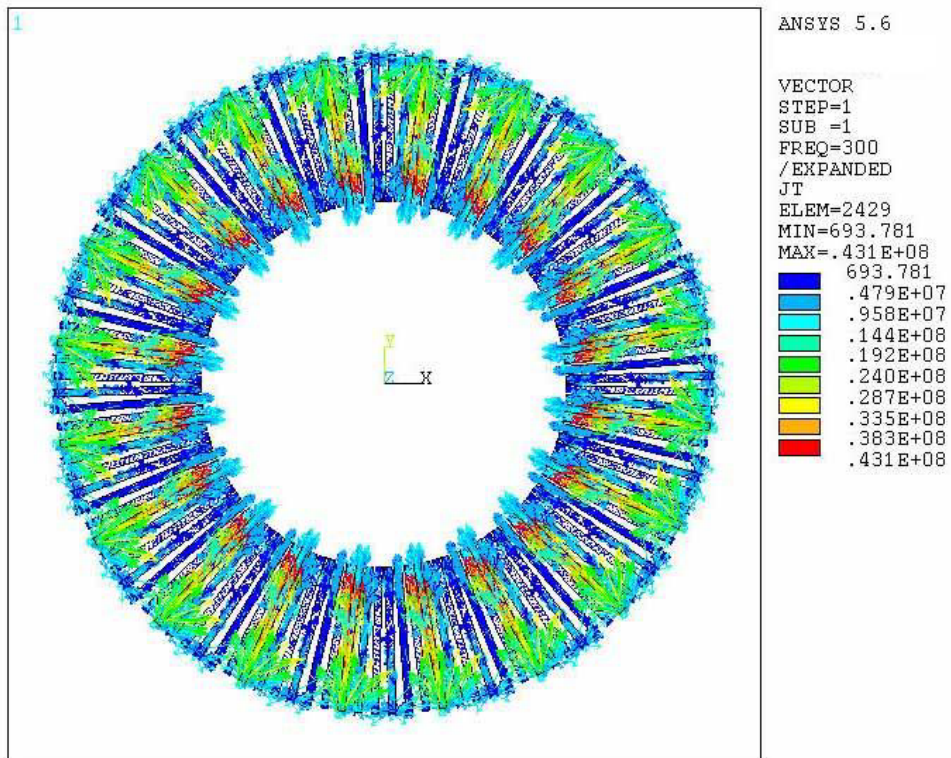


Figura 318. Componente real de las corrientes estáticas.
 $f_e=300\text{Hz}$ - $f_r=0.015\text{Hz}$ - $s=0.999$, $p=20$.

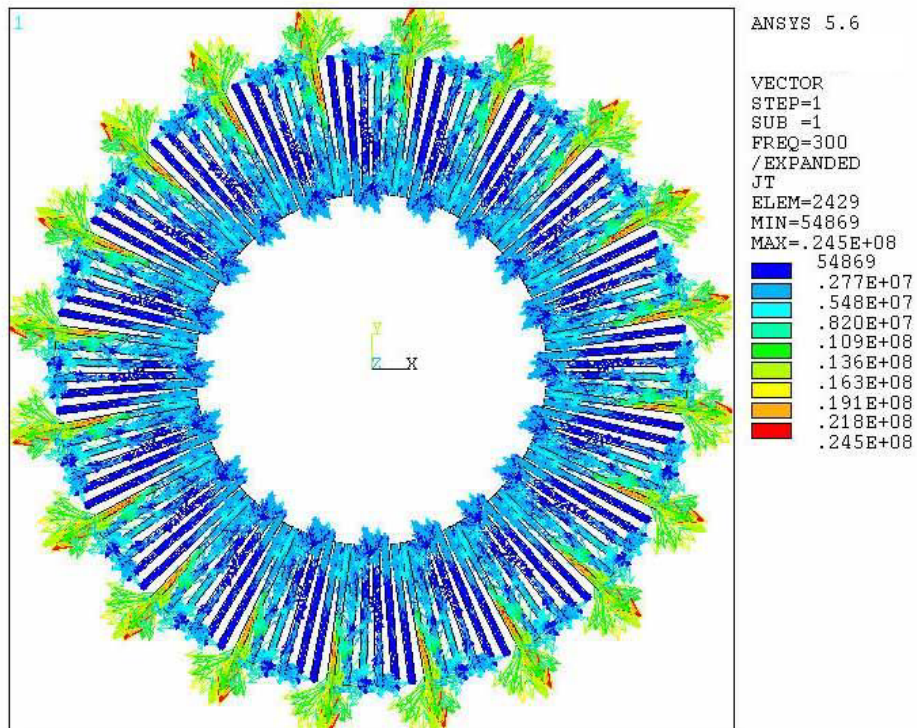


Figura 319. Componente real de las corrientes estáticas.
 $f_e=300\text{Hz}$ - $f_r=0.015\text{Hz}$ - $s=0.999$, $p=20$.

A.1.5. Comportamiento del motor a una fe de 500 Hz, al variar el deslizamiento de $s=0.05$ hasta $s=0.999$.

A.1.5.1. $s=0.05$ - $fr=14.25\text{Hz}$.

Ver A.1.1.5.

A.1.5.2. $s=0.20$ - $fr=20\text{Hz}$.

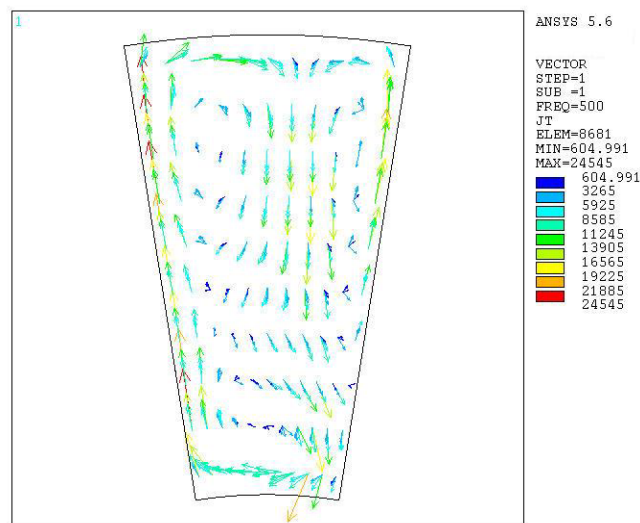


Figura 320. Componente real de la J del rotor. $f_e=500\text{Hz}$ - $f_r=20\text{Hz}$ - $s=0.20$. Distribución por par de polos $p=20$.

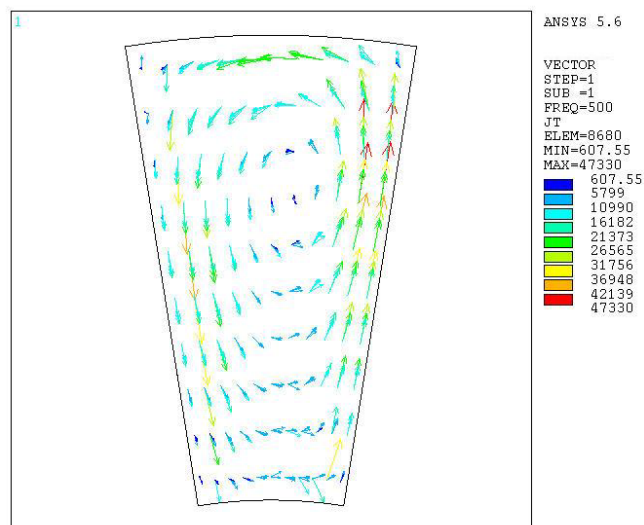


Figura 321. Componente imaginaria de la J del rotor. $f_e=500\text{Hz}$ - $f_r=20\text{Hz}$ - $s=0.20$. Distribución por par de polos $p=20$.

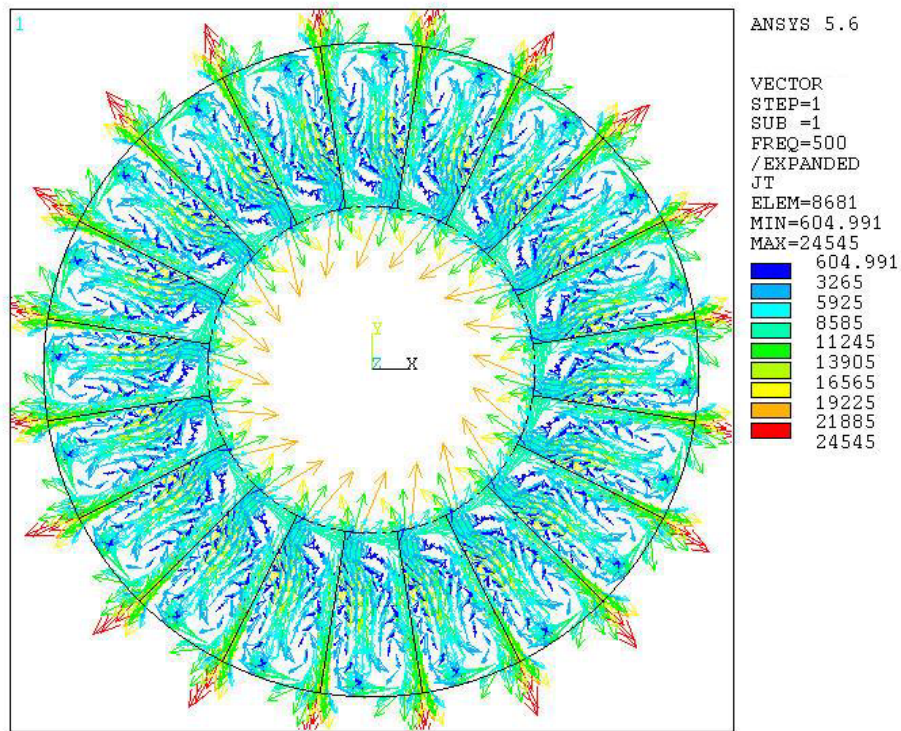


Figura 322. Componente real de la J del rotor. $f_e=500\text{Hz}$ - $f_r=20\text{Hz}$ - $s=0.20$. $p=20$.

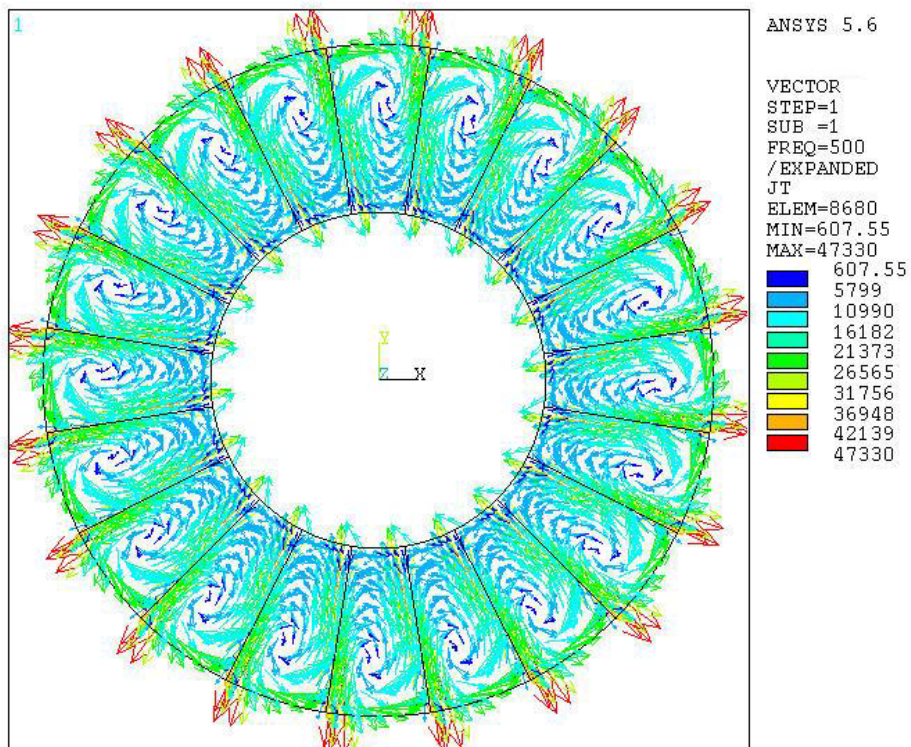


Figura 323. Componente imaginaria de la J del rotor. $f_e=500\text{Hz}$ - $f_r=20\text{Hz}$ - $s=0.20$. $p=20$.